

NIEKTÓRE ZAGADNIENIA TERMOSPŁĘŻYSTOŚCI W TARCZACH MIKROPOLARNYCH

KRYSTYNA MAJORKOWSKA-KNAP (PŁOCK)

1. Wprowadzenie

W niniejszej pracy rozważać będziemy liniowy termosprężysty ośrodek mikropolarny poddany działaniu temperatury.

Na podstawowe równania niesymetrycznej termosprężystości dla zagadnień statycznych składają się: równania równowagi, równania konstytutywne oraz równanie przewodnictwa cieplnego [1].

Równania równowagi, przy pominięciu sił i momentów masowych mają postać

$$(1.1) \quad \sigma_{ji,j} = 0, \quad \varepsilon_{ijk}\sigma_{jk} + \mu_{ji,j} = 0, \quad (i, j, k = 1, 2, 3),$$

gdzie symbol ε_{ijk} oznacza alternator Levi-Civité.

Równania konstytutywne

$$(1.2) \quad \begin{aligned} \sigma_{ji} &= (\mu + \alpha)\gamma_{ji} + (\mu - \alpha)\gamma_{ij} + (\lambda\gamma_{kk} - \bar{\nu}\theta)\delta_{ij}, \\ \mu_{ji} &= (\gamma + \varepsilon)\kappa_{ji} + (\gamma - \varepsilon)\kappa_{ij} + \beta\kappa_{kk}\delta_{ij}, \end{aligned}$$

gdzie

$$(1.3) \quad \gamma_{ji} = u_{i,j} - \varepsilon_{kji}\varphi_k, \quad \kappa_{ji} = \varphi_{i,j}$$

zawierają sześć stałych materiałowych mechanicznych $\mu, \lambda, \alpha, \beta, \gamma, \varepsilon$ oraz stałą $\bar{\nu} = \alpha_i(3\lambda + 2\mu)$ zależną od własności mechanicznych i termicznych (α_i — współczynnik liniowej rozszerzalności cieplnej).

W równaniach (1.2) $\theta = T - T_0$ oznacza wzrost temperatury (w stosunku do temperatury stanu naturalnego T_0). Symbol δ_{ij} oznacza deltę Kroneckera.

Postać zlinearyzowana równania przewodnictwa cieplnego w przypadku stacjonarnego przepływu ciepła jest następująca

$$(1.4) \quad \nabla^2\theta = \frac{-W}{k},$$

gdzie W — ilość ciepła wydzielana przez umieszczone w ciele źródła ciepła, odniesiona do jednostki objętości, zaś k — współczynnik przewodnictwa cieplnego.

Eliminując z równań (1.1) naprężenia δ_{ji} i μ_{ji} przy wykorzystaniu związków (1.2) i (1.3) otrzymamy sprzężony ze sobą układ równań różniczkowych [1]

$$(1.5) \quad \begin{aligned} (\mu + \alpha)\nabla^2\underline{u} + (\lambda + \mu - \alpha)\text{grad div } \underline{u} + 2\alpha\text{rot } \underline{\varphi} &= \bar{\nu}\text{grad } \theta, \\ (\gamma + \varepsilon)\nabla^2\underline{\varphi} - 4\alpha\underline{\varphi} + (\beta + \gamma - \varepsilon)\text{grad div } \underline{\varphi} + 2\alpha\text{rot } \underline{u} &= 0. \end{aligned}$$

Mamy układ siedmiu równań (1.5), (1.4) z siedmioma niewiadomymi: trzema składowymi przemieszczenia \underline{u} , trzema składowymi obrotu $\underline{\varphi}$ i temperaturą θ .

Warunki brzegowe związane z równaniami (1.5) i (1.4) przyjmujemy w postaci

$$(1.6) \quad p_i = \sigma_{ji}n_j = 0, \quad m_i = \mu_{ji}n_j = 0, \quad \theta = \gamma(\underline{x}), \quad \underline{x} \in A.$$

2. Uogólniony płaski stan naprężenia

W tarczy o grubości $2h$ uogólniony płaski stan naprężenia jest wywołany temperaturą $\theta(x_1, x_2, x_3)$ o rozkładzie symetrycznym względem płaszczyzny środkowej.

Stan przemieszczenia i obrotów jest scharakteryzowany przez średnie wartości wektorów

$$(2.1) \quad \underline{u}^* \equiv (u_1^*, u_2^*, 0), \quad \underline{\varphi}^* \equiv (0, 0, \varphi_3^*).$$

Stan odkształcenia reprezentują tensory $\underline{\sigma}^*$ i $\underline{\kappa}^*$ o składowych

$$(2.2) \quad \gamma_{ji}^* \equiv (\gamma_{\alpha\beta}^*, \gamma_{33}^*), \quad \kappa_{ji}^* \equiv \kappa_{\alpha 3}^*, \quad (\alpha, \beta = 1, 2).$$

Stan naprężenia opisują tensory $\underline{\sigma}^*$ i $\underline{\mu}^*$ o składowych

$$(2.3) \quad \sigma_{ij}^* \equiv \sigma_{\alpha\beta}^*, \quad \mu_{ji}^* \equiv (\mu_{\alpha 3}^*, \mu_{3\alpha}^*), \quad (\alpha, \beta = 1, 2),$$

które spełniają równania równowagi

$$(2.4) \quad \sigma_{\alpha\beta, \alpha}^* = 0, \quad \varepsilon_{\alpha\beta} \sigma_{\alpha\beta}^* + \mu_{\alpha 3, \alpha}^* = 0, \quad (\alpha, \beta = 1, 2),$$

symbol $\varepsilon_{\alpha\beta}$ oznacza symbol Ricciego.

Związki konstytutywne przyjmują postać

$$(2.5) \quad \begin{aligned} \sigma_{ji}^* &= (\mu + \alpha)\gamma_{ji}^* + (\mu - \alpha)\gamma_{ij}^* + (\lambda\gamma_{kk}^* - \bar{\nu}\theta^*)\delta_{ji}, \\ \mu_{ji}^* &\equiv (\gamma + \varepsilon)\kappa_{ji}^* + (\gamma - \varepsilon)\kappa_{ij}^* + \beta\kappa_{kk}^*\delta_{ji}, \quad (i, j = 1, 2, 3), \end{aligned}$$

gdzie $\theta^*(x_1, x_2) = \frac{1}{2h} \int_{-h}^h \theta(x_1, x_2, x_3) dx_3$ jest średnią wartościową temperatury wzdłuż grubości tarczy.

Związki geometrycznej zgodności mają postać

$$(2.6) \quad \begin{aligned} \gamma_{21,1}^* - \gamma_{11,2}^* - \kappa_{13}^* &= 0, \\ \gamma_{22,1}^* - \gamma_{12,2}^* - \kappa_{23}^* &= 0, \\ \kappa_{23,1}^* - \kappa_{13,2}^* &= 0. \end{aligned}$$

Równania (2.6) można przekształcić do postaci

$$(2.7) \quad \begin{aligned} \gamma_{22,11}^* + \gamma_{11,22}^* &= (\gamma_{12}^* + \gamma_{21}^*)_{,12}, \\ \gamma_{12,22}^* - \gamma_{21,11}^* &= (\gamma_{22}^* - \gamma_{11}^*)_{,12} - (\kappa_{13,1}^* + \kappa_{23,2}^*), \\ \kappa_{23,1}^* - \kappa_{13,2}^* &= 0. \end{aligned}$$

Wyrażając związki (2.7) poprzez tensory σ_{ji}^* , μ_{ji}^* przy pomocy równań (2.5) otrzymujemy warunki geometrycznej zgodności wyrażone w naprężeniach. Te ostatnie w połączeniu z równaniami równowagi (2.4) oraz z równaniem przewodnictwa cieplnego (2.8)

$$(2.8) \quad \nabla_1^2 \theta^* = - \frac{W^*}{k}$$

i z warunkami brzegowymi (1.6) stanowią naprężeniowe sformułowanie problemu mikropolarnej termosprężystości.

Wprowadzając reprezentację naprężeń za pomocą funkcji F, Ψ [1] w postaci

$$(2.9) \quad \begin{aligned} \sigma_{11}^* &= \partial_2^2 F - \partial_1 \partial_2 \Psi, & \sigma_{22}^* &= \partial_1^2 F + \partial_1 \partial_2 \Psi, \\ \sigma_{12}^* &= -\partial_1 \partial_2 F - \partial_2^2 \Psi, & \sigma_{21}^* &= -\partial_1 \partial_2 F + \partial_1^2 \Psi, \\ \mu_{13}^* &= \partial_1 \Psi, & \mu_{23}^* &= \partial_2 \Psi, \end{aligned}$$

rozwiązanie problemu w naprężeniach sprowadza się do rozwiązania równań (2.10) i (2.8) z odpowiednimi warunkami brzegowymi.

$$(2.10) \quad \begin{aligned} \nabla_1^2 \nabla_1^2 F + 2\mu \bar{m} \nabla_1^2 \theta^* &= 0, \\ \nabla_1^2 (1 - I^2 \nabla_1^2) \Psi &= 0, \end{aligned}$$

gdzie

$$\bar{m} = \frac{\bar{v}}{2(\lambda + \mu)}, \quad I^2 = \frac{(\gamma + \varepsilon)(\mu + \alpha)}{4\mu\alpha}, \quad \nabla_1^2 = \partial_1^2 + \partial_2^2.$$

Funkcje F i Ψ oraz θ^* związane są zależnościami

$$(2.11) \quad \begin{aligned} -\partial_1 (1 - I^2 \nabla_1^2) \Psi &= A \partial_2 \nabla_1^2 F + B \partial_2 \theta^*, \\ \partial_2 (1 - I^2 \nabla_1^2) \Psi &= A \partial_1 \nabla_1^2 F + B \partial_1 \theta^*, \end{aligned}$$

gdzie

$$A = \frac{(\lambda + \mu)(\gamma + \varepsilon)}{\mu(3\lambda + 2\mu)}, \quad B = \frac{\bar{v}(\gamma + \varepsilon)}{3\lambda + 2\mu}.$$

Inny sposób rozwiązania zagadnienia płaskiego to rozwiązanie w przemieszczeniach-obrotach. Podstawiając do równań równowagi (2.4) związki (2.5) i wykorzystując definicję (1.3) otrzymujemy układ równań różniczkowych

$$(2.12) \quad \begin{aligned} (\mu + \alpha) \nabla_1^2 u_1^* + \beta_0 \partial_1 e^* + 2\alpha \partial_2 \varphi_3^* &= 2\mu m \partial_1 \theta^*, \\ (\mu + \alpha) \nabla_1^2 u_2^* + \beta_0 \partial_2 e^* - 2\alpha \partial_1 \varphi_3^* &= 2\mu m \partial_2 \theta^*, \\ [(\gamma + \varepsilon) \nabla_1^2 - 4\alpha] \varphi_3^* + 2\alpha (\partial_1 u_2^* - \partial_2 u_1^*) &= 0, \end{aligned}$$

gdzie

$$\beta_0 = \frac{\mu(3\lambda + 2\mu) - \alpha(\lambda + 2\mu)}{\lambda + 2\mu}, \quad m = \frac{\bar{v}}{\lambda + 2\mu}.$$

Rozwiązanie problemu w przemieszczeniach-obrotach sprowadza się do rozwiązania równań (2.12) i (2.8) z warunkami brzegowymi.

3. Zagadnienie tarczy półnieskończonej

Rozpatrzymy zagadnienie tarczy półnieskończonej $x_1 \geq 0$ ograniczonej prostą $x_1 = 0$. Przyjmujemy, że na brzegu $x_1 = 0$ działa pole temperatur $\theta_{(x_2)}^*$, które można traktować jako superpozycję dwóch stanów obciążeń zgodnie z rys. 1.

Działanie stałej temperatury $\frac{a}{a} \frac{c}{a}$ zgodnie z rys. 1a nie wywołuje w ciele naprężeń, rozpatrzymy zatem tylko drugi składowy stan obciążenia zgodnie z rys. 1b.

Rozwinięcie temperatury $\theta_{(x_2)}^*$ w szereg Fouriera ma postać

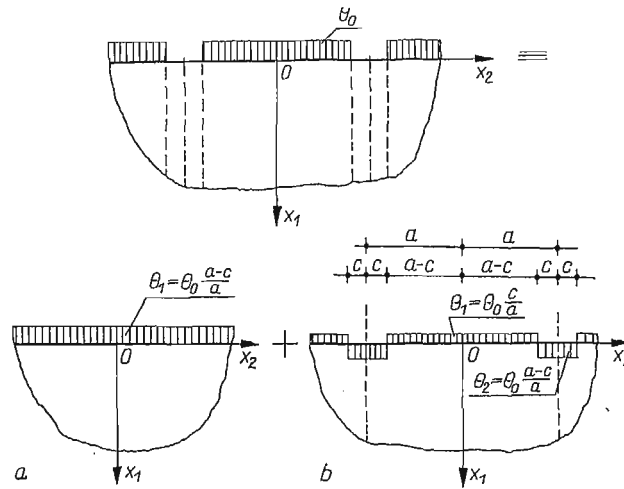
$$(3.1) \quad \theta_{(x_2)}^* = \sum_{n=1}^{\infty} \theta_n \cos \alpha_n x_2, \quad \alpha_n = \frac{n\pi}{a}, \quad n = 1, 2, 3 \dots,$$

gdzie

$$\theta_n = -\frac{2\theta_0}{n\pi} \cos n\pi \sin \frac{\pi n c}{a}.$$

Na brzegu $x_1 = 0$ mamy warunki brzegowe

$$(3.2) \quad \sigma_{11}^*(0, x_2) = 0, \quad \sigma_{12}^*(0, x_2) = 0, \quad \mu_{13}^*(0, x_2) = 0.$$



Rys. 1.

W pierwszej kolejności rozwiązujemy równanie Laplace'a, którym staje się równanie przewodnictwa cieplnego dla omawianego zagadnienia

$$(3.3) \quad \nabla_1^2 \theta^* = 0$$

z warunkiem brzegowym

$$(3.4) \quad \theta^*(0, x_2) = \sum_{n=1}^{\infty} \theta_n \cos \alpha_n x_2$$

i warunkiem regularności dla $|x_1^2 + x_2^2| \rightarrow \infty$.

Z (3.3) wyznaczmy temperaturę $\theta^*(x_1, x_2)$ w postaci

$$(3.5) \quad \theta^*(x_1, x_2) = \sum_{n=1}^{\infty} \theta_n e^{-\alpha_n x_1} \cos \alpha_n x_2.$$

Dla wyznaczenia stanu naprężenia wprowadzamy funkcje F i Ψ , które winny spełniać równania (2.10). Rozwiązanie tych równań przyjmujemy w postaci

$$(3.6) \quad F = F' + F'', \quad \Psi = \Psi' + \Psi''.$$

Zakładamy, że $\Psi' = 0$, a funkcja F' jest całką szczególną równania

$$(3.7) \quad \nabla_1^2 F' + 2\mu\bar{m}\theta^* = 0$$

z warunkiem brzegowym $F' = 0$ dla $x_1 = 0$ i warunkiem regularności dla $(x_1^2 + x_2^2) \rightarrow \infty$.

Temperatura $\theta^*(x_1, x_2)$ występująca w równaniu (3.7) dana jest wzorem (3.5). Wobec tego (3.7) przyjmuje postać

$$(3.8) \quad \nabla_1^2 F' = -2\mu\bar{m} \sum_{n=1}^{\infty} \theta_n e^{-\alpha_n x_1} \cos \alpha_n x_2.$$

Z rozwiązania powyższego równania różniczkowego cząstkowego niejednorodnego otrzymujemy

$$(3.9) \quad F'_{(x_1, x_2)} = \sum_{n=1}^{\infty} \frac{\mu\bar{m}\theta_n}{\alpha_n} x_1 e^{-\alpha_n x_1} \cos \alpha_n x_2.$$

Funkcje F' , Ψ' związane z symetrycznym tensorem naprężeń prowadzą do następujących wzorów na naprężenia:

$$(3.10) \quad \begin{aligned} \sigma'_{11} &= -\mu\bar{m} \sum_{n=1}^{\infty} \alpha_n \theta_n x_1 e^{-\alpha_n x_1} \cos \alpha_n x_2, \\ \sigma'_{22} &= -\mu\bar{m} \sum_{n=1}^{\infty} \theta_n (2 - \alpha_n x_1) e^{-\alpha_n x_1} \cos \alpha_n x_2, \\ \sigma'_{12} = \sigma'_{21} &= \mu\bar{m} \sum_{n=1}^{\infty} \theta_n (1 - \alpha_n x_1) e^{-\alpha_n x_1} \sin \alpha_n x_2, \\ \mu'_{13} = \mu'_{23} &= 0. \end{aligned}$$

Funkcje F'' , Ψ'' powinny spełniać równania

$$(3.11) \quad \begin{aligned} \nabla_1^2 \nabla_1^2 F'' &= 0, \\ \nabla_1^2 (1 - l^2 \nabla_1^2) \Psi'' &= 0, \end{aligned}$$

z warunkami brzegowymi

$$(3.12) \quad \sigma'_{11} + \sigma'_{11}' = 0, \quad \sigma'_{12} + \sigma'_{12}' = 0, \quad \mu'_{13} = 0, \quad \text{dla } x_1 = 0$$

oraz z warunkami regularności dla $(x_1^2 + x_2^2) \rightarrow \infty$.

Jednocześnie powinny być spełnione zależności

$$(3.13) \quad \begin{aligned} -\partial_1 (1 - l^2 \nabla_1^2) \Psi'' &= A \partial_2 \nabla_1^2 F'', \\ \partial_2 (1 - l^2 \nabla_1^2) \Psi'' &= A \partial_1 \nabla_1^2 F''. \end{aligned}$$

Przy przyjęciu $\Psi' = 0$ i spełnieniu zależności (3.13) spełnimy związki zachodzące między funkcjami F i Ψ (2.11), gdyż

$$(3.14) \quad \begin{aligned} \partial_2 (A \nabla_1^2 F + B\theta) &= 0, \\ \partial_1 (A \nabla_1^2 F + B\theta) &= 0. \end{aligned}$$

Zastosowanie pojedynczych szeregów Fouriera prowadzi do następujących wzorów na funkcje

$$(3.15) \quad \begin{aligned} F''_{(x_1, x_2)} &= \sum_{n=1}^{\infty} (A_n + B_n \alpha_n x_1) e^{-\alpha_n x_1} \cos \alpha_n x_2, \\ \Psi''_{(x_1, x_2)} &= \sum_{n=1}^{\infty} (C_n e^{-\alpha_n x_1} + D_n e^{-\rho_n x_1}) \sin \alpha_n x_2, \quad \varrho_n = \left(\alpha_n^2 + \frac{1}{l^2} \right)^{1/2}. \end{aligned}$$

Powyższe wzory zawierają nieskończenie wiele stałych A_n, B_n, C_n, D_n , które wyznaczymy z warunków brzegowych (3.12) oraz ze związków (3.13).

Z warunku brzegowego $\mu'_{13}|_{x_1=0} = 0$ mamy

$$(3.16) \quad \alpha_n C_n + \varrho_n D_n = 0.$$

Z warunku brzegowego $\sigma'_{11} + \sigma'_{11}|_{x_1=0} = 0$, po uwzględnieniu (3.16) mamy

$$(3.17) \quad A_n = 0,$$

a z warunku brzegowego $\sigma'_{12} + \sigma'_{12}|_{x_1=0} = 0$ otrzymamy

$$(3.18) \quad \mu \bar{m} \theta_n + \alpha_n^2 (B_n - A_n + C_n + D_n) = 0.$$

Związki (3.13) po uwzględnieniu (3.15) prowadzą do

$$(3.19) \quad C_n - 2A\alpha_n^2 B_n = 0.$$

Z czterech równań (3.16), (3.17), (3.18), (3.19) wyznaczmy cztery stałe całkowania

$$(3.20) \quad A_n = 0, \quad B_n = -\frac{\mu \bar{m} \theta_n}{\alpha_n^2 \Delta_0}, \quad C_n = -\frac{2A}{\Delta_0} \mu \bar{m} \theta_n, \quad D_n = -\frac{\alpha_n}{\varrho_n} C_n,$$

gdzie

$$\Delta_0 = 1 + 2A\alpha_n^2 \left(1 - \frac{\alpha_n}{\varrho_n} \right).$$

Po uwzględnieniu (3.20) funkcje F'' i Ψ'' przyjmują postać

$$(3.21) \quad \begin{aligned} F''_{(x_1, x_2)} &= -\mu \bar{m} x_1 \sum_{n=1}^{\infty} \frac{\theta_n}{\alpha_n \Delta_0} e^{-\alpha_n x_1} \cos \alpha_n x_2, \\ \Psi''_{(x_1, x_2)} &= -2A\mu \bar{m} \sum_{n=1}^{\infty} \frac{\theta_n}{\Delta_0} \left(e^{-\alpha_n x_1} - \frac{\alpha_n}{\varrho_n} e^{-\rho_n x_1} \right) \sin \alpha_n x_2. \end{aligned}$$

Wzory na naprężenia będą następujące:

$$(3.22) \quad \sigma^*_{11} = -\mu \bar{m} \sum_{n=1}^{\infty} \theta_n \left[\alpha_n x_1 \left(1 - \frac{1}{\Delta_0} \right) e^{-\alpha_n x_1} + \frac{2A\alpha_n^2}{\Delta_0} (e^{-\alpha_n x_1} - e^{-\rho_n x_1}) \right] \cos \alpha_n x_2,$$

$$\begin{aligned}
 \sigma_{22}^* &= -\mu\bar{m} \sum_{n=1}^{\infty} \theta_n \left[(2 - \alpha_n x_1) \left(1 - \frac{1}{\Delta_0} \right) e^{-\alpha_n x_1} - \frac{2A\alpha_n^2}{\Delta_0} (e^{-\alpha_n x_1} - e^{-\rho_n x_1}) \right] \cos \alpha_n x_2, \\
 \sigma_{12}^* &= \mu\bar{m} \sum_{n=1}^{\infty} \theta_n \left[(1 - \alpha_n x_1) \left(1 - \frac{1}{\Delta_0} \right) e^{-\alpha_n x_1} - \frac{2A\alpha_n^2}{\Delta_0} \left(e^{-\alpha_n x_1} - \frac{\alpha_n}{\rho_n} e^{-\rho_n x_1} \right) \right] \sin \alpha_n x_2, \\
 (3.22) \quad \sigma_{21}^* &= \mu\bar{m} \sum_{n=1}^{\infty} \theta_n \left[(1 - \alpha_n x_1) \left(1 - \frac{1}{\Delta_0} \right) e^{-\alpha_n x_1} - \frac{2A\alpha_n}{\Delta_0} (\alpha_n e^{-\alpha_n x_1} - \rho_n e^{-\rho_n x_1}) \right] \sin \alpha_n x_2, \\
 \mu_{13}^* &= 2\mu\bar{m}A \sum_{n=1}^{\infty} \frac{\theta_n}{\Delta_0} \alpha_n (e^{-\alpha_n x_1} - e^{-\rho_n x_1}) \sin \alpha_n x_2, \\
 \mu_{23}^* &= -2\mu\bar{m}A \sum_{n=1}^{\infty} \frac{\theta_n}{\Delta_0} \alpha_n \left(e^{-\alpha_n x_1} - \frac{\alpha_n}{\rho_n} e^{-\rho_n x_1} \right) \cos \alpha_n x_2.
 \end{aligned}$$

Łatwo zauważyć, że w przypadku szczególnym ciała Hooke'a, gdy $\alpha = 0$ ($\rho_n = \alpha_n$, $\Delta_0 = 1$), naprężenia dążą do zera.

Analiza naprężeń σ_{22}^* dla teorii mikropolarnej. Zbadano zmienność naprężeń σ_{22}^* dla punktów tarczy o współrzędnych $x_1 = 0 \div 2a$, $x_2 = 0$ i o współrzędnych $x_1 = 0 \div 2a$, $x_2 = 3a$. Obliczenia szczegółowe przeprowadzono na elektronowej maszynie cyfrowej «ODRA-1204».

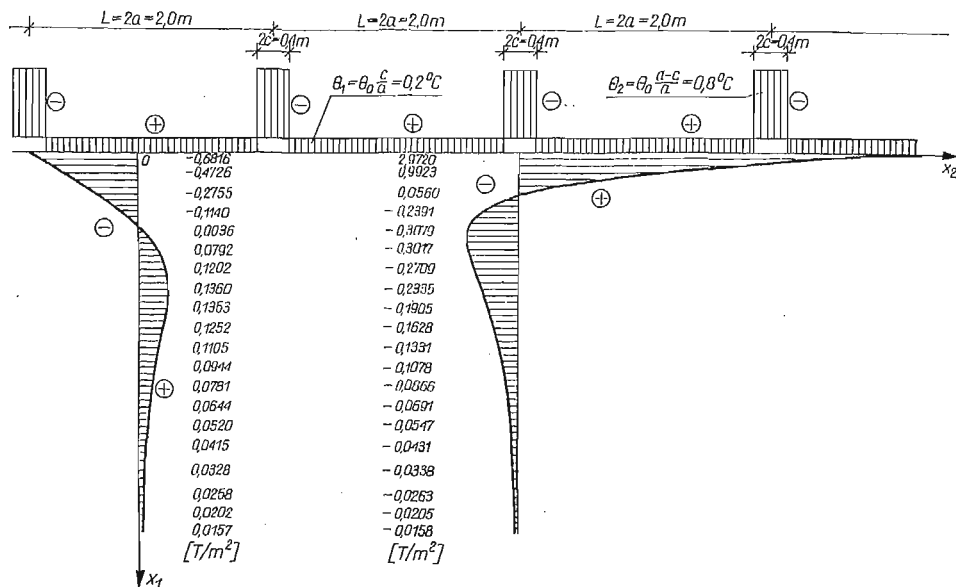
Z uwagi na brak dokładnych wartości stałych materiałowych przyjęto do obliczeń:
 a) dane z klasycznej teorii sprężystości (dla betonu)

$$\left. \begin{aligned}
 \nu &= 0,16 \\
 E &= 0,18 \cdot 10^6 \text{ [kG/cm}^2\text{]} \\
 \alpha_t &= 1 \cdot 10^{-5} \text{ [1/}^\circ\text{C]}
 \end{aligned} \right\} \Rightarrow \begin{aligned}
 \mu &= \frac{E}{2(1+\nu)} = 0,077 \cdot 10^7 \text{ [T/m}^2\text{]}, \\
 \lambda &= \frac{\nu E}{(1+\nu)(1-2\nu)} = 0,036 \cdot 10^7 \text{ [T/m}^2\text{]}, \\
 \mu\bar{m} &= \mu \frac{\alpha_t(3\lambda+2\mu)}{2(\lambda+\mu)} = 8,924 \text{ [T/}^\circ\text{C} \cdot \text{m}^2\text{]};
 \end{aligned}$$

b) liczbowe stosunki stałych sprężystości wzorując się na pracy [5]

$$\left. \begin{aligned}
 \alpha &= \frac{1}{5} \mu = 0,0154 \cdot 10^7 \text{ [T/m}^2\text{]} \\
 \gamma &= \varepsilon = 0,0154 \cdot 10^7 \text{ [T]}
 \end{aligned} \right\} \begin{aligned}
 A &= \frac{(\lambda+\mu)(\gamma+\varepsilon)}{\mu(3\lambda+2\mu)} = 0,172 \text{ [m}^2\text{]}, \\
 I^2 &= \frac{(\gamma+\varepsilon)(\mu+\alpha)}{4\mu\alpha} = 0,600 \text{ [m}^2\text{]}.
 \end{aligned}$$

Zmienność naprężeń przedstawiono graficznie na rys. 2. Dla uproszczenia przyjęto grubość tarczy równą jedności. W innym przypadku należałoby podzielić otrzymane wyniki przez grubość tarczy.



Rys. 2

Analizując zmienność naprężeń σ_{22}^* dochodzimy do następujących wniosków:

a) dla punktów przekroju o współrzędnej $x_2 = 0$: naprężenie przyjmuje największą wartość ujemną w punkcie o współrzędnej $x_1 = 0$, następnie zmienia znak w punkcie o współrzędnej $x_1 = \sim 0,4$ m, osiągając największą wartość dodatnią w punkcie o współrzędnej $x_1 = 0,7$ m. Wraz z oddalaniem się od obciążonego brzegu wartość naprężeń zmniejsza się, dochodząc do wartości bliskiej zeru w punkcie o współrzędnej $x_1 = 2a$.

b) dla punktów przekroju o współrzędnej $x_2 = 3a$: naprężenie przyjmuje największą wartość dodatnią w punkcie o współrzędnej $x_1 = 0$, zmienia znak w punkcie o współrzędnej $x_1 = \sim 0,2$ m i osiąga największą wartość ujemną w punkcie o współrzędnej $x_1 = 0,4$ m. Następnie wartość naprężeń zmniejsza się stopniowo, dochodząc do wartości bliskiej zeru w punkcie o współrzędnej $x_1 = 2a$.

Reasumując można stwierdzić, że uwzględnienie niesymetrycznych tensorów naprężeń i odkształceń w ośrodku mikropolarnym prowadzi do zmian w stanie naprężenia tarczy. Naprężenia σ_{11}^* , σ_{22}^* , σ_{12}^* , σ_{21}^* , μ_{13}^* , μ_{23}^* , μ_{31}^* , μ_{32}^* , nie występujące w ciele Hooke'a dla danego zagadnienia występują w ośrodku Cosseratów. Przedstawione wyniki rozwiązania numerycznego pozwalają na wyciągnięcie wniosków natury jakościowej (jedyne) z uwagi na dobór stałych materiałowych nie potwierdzony badaniami doświadczalnymi.

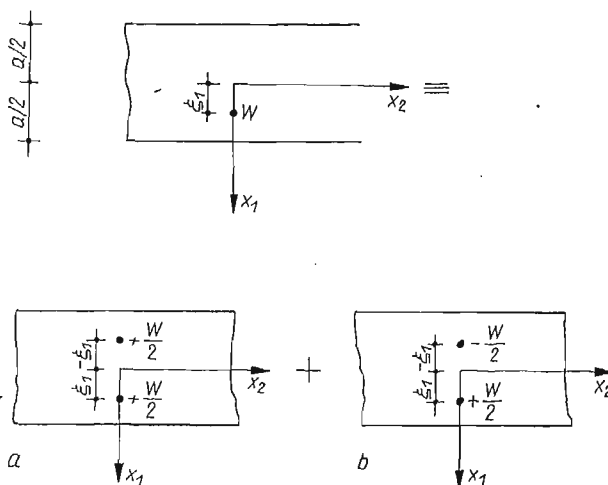
4. Działanie ustalonego źródła ciepła na pasmo tarczowe

W punkcie $(\xi_1, 0)$ pasma tarczowego działa ustalone źródło ciepła o intensywności $W^*(x_1, x_2, x_3) = W^*\delta(x_1 - \xi_1)\delta(x_2)$. Zakładamy, że w płaszczyznach ograniczających tarczę panuje temperatura zerowa oraz naprężenia są równe zero. Mamy

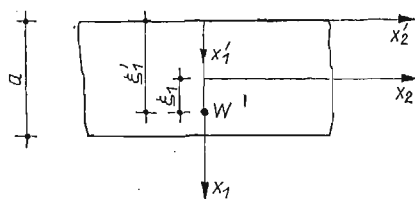
$$(4.1) \quad \sigma_{11}^* = 0, \quad \sigma_{12}^* = 0, \quad \mu_{13}^* = 0, \quad \theta^* = 0 \quad \text{dla } x_1 = \pm \frac{a}{2}$$

Stan obciążenia termicznego rozpatrujemy superponując dwa składowe stany obciążeń zgodnie z rys. 3.

W pierwszej kolejności rozwiążemy zagadnienie przedstawione na rys. 4 w układzie współrzędnych x'_1, x'_2 .



Rys. 3.



Rys. 4.

Z równania przewodnictwa cieplnego

$$(4.2) \quad \nabla_1^2 \theta^* = -\frac{W^*}{k}$$

Z warunkiem brzegowym $\theta^* = 0$ dla $x'_1 = 0, x'_1 = a$ wyznaczymy funkcję θ^* .

Stosując kombinację transformacji skończonej sinusowej i cosinusowej całkowej Fouriera do równania (4.2) mamy

$$(4.3) \quad \sqrt{\frac{2}{\pi}} \int_0^{\infty} \int_0^a (\partial_1^2 + \partial_2^2) \theta^*(x'_1, x'_2) \sin \alpha_n x'_1 \cos \beta x'_2 dx'_1 dx'_2 = \\ = -\frac{W}{k} \sqrt{\frac{2}{\pi}} \int_0^{\infty} \delta(x'_2) \cos \beta x'_2 dx'_2 \int_0^a \delta(x'_1 - \xi_1) \sin \alpha_n x'_1 dx'_1.$$

Biorąc pod uwagę, że $\int_0^a \delta(x'_1 - \xi_1) \sin \alpha_n x'_1 dx'_1 = \sin \alpha_n \xi_1$, $\int_0^{\infty} \delta(x'_2) \cos \beta x'_2 dx'_2 = \frac{1}{2}$, otrzymujemy równanie (4.2) w członach transformacji

$$(4.4) \quad -(\alpha_n^2 + \beta^2) \tilde{\theta}_{(a_n, \beta)}^* = -\frac{W}{k} \sqrt{\frac{2}{\pi}} \frac{\sin \alpha_n \xi'_1}{2},$$

skąd wyznaczmy

$$(4.5) \quad \tilde{\theta}^* = \frac{W \sin \alpha_n \xi'_1}{k \sqrt{2\pi} (\alpha_n^2 + \beta^2)}.$$

Po wykonaniu retransformacji otrzymujemy funkcję $\theta^*(x'_1, x'_2)$ w postaci

$$(4.6) \quad \theta^*(x'_1, x'_2) = \frac{2W}{k\pi a} \sum_{n=1}^{\infty} \sin \alpha_n \xi'_1 \sin \alpha_n x'_1 \int_0^{\infty} \frac{\cos \beta x'_2}{\alpha_n^2 + \beta^2} d\beta, \quad \alpha_n = \frac{n\pi}{a}.$$

Zagadnienie rozwiązywać będziemy w przemieszczeniach i obrotach. Układ równań różniczkowych (2.12) można rozwiązać za pomocą potencjałów sprzężystych [3], korzystając z możliwości przedstawienia wektora $\underline{u}^* \equiv (u_1^*, u_2^*, 0)$ w postaci gradientu pewnego skalaru i rotacji pewnego wektora. Przyjęcie

$$(4.7) \quad u_1^* = \partial_1 \Phi + \partial_2 \Psi, \quad u_2^* = \partial_2 \Phi - \partial_1 \Psi$$

prowadzi do układu równań dla funkcji Φ , φ_3^*

$$(4.8) \quad \nabla_1^2 \nabla_1^2 \Phi - n \nabla_1^2 \theta^* = 0, \\ \nabla_1^2 (l^2 \nabla_1^2 - 1) \varphi_3^* = 0,$$

gdzie

$$n = \frac{2\mu m}{\mu + \alpha + \beta_0}.$$

Funkcja Ψ wyrażona jest przez φ_3^* zgodnie z równaniem

$$(4.9) \quad \nabla_1^2 \Psi = \frac{1}{2\alpha} [(\gamma + \epsilon) \nabla_1^2 - 4\alpha] \varphi_3^*.$$

Funkcje Φ i φ_3^* winny spełniać również związki Cauchy-Riemanna

$$(4.10) \quad \partial_1(\nabla_1^2 \Phi - n\theta^*) + \frac{n}{m} \partial_2(l^2 \nabla_1^2 - 1)\varphi_3^* = 0,$$

$$\partial_2(\nabla_1^2 \Phi - n\theta^*) - \frac{n}{m} \partial_1(l^2 \nabla_1^2 - 1)\varphi_3^* = 0.$$

Rozwiązanie układu równań (4.8) złożymy z dwu części

$$(4.11) \quad \Phi = \Phi' + \Phi'', \quad \varphi_3^* = \varphi_3^{*'} + \varphi_3^{*''}.$$

Zakładamy, że $\varphi_3^{*''} = 0$, a funkcja Φ' spełnia równanie

$$(4.12) \quad \nabla_1^2 \Phi' - n\theta^* = 0$$

z warunkiem brzegowym $\Phi' = 0$ dla $x'_1 = 0, x'_1 = a$. Z równania (4.12) otrzymujemy po uwzględnieniu (4.5)

$$(4.13) \quad \tilde{\Phi}' = - \frac{nW \sin \alpha_n \xi'_1}{k \sqrt{2\pi} (\alpha_n^2 + \beta^2)^2}.$$

Po wykonaniu retransformacji na powyższym równaniu otrzymamy

$$(4.14) \quad \Phi'(x'_1, x'_2) = - \frac{2nW}{k\pi a} \sum_{n=1}^{\infty} \sin \alpha_n \xi'_1 \sin \alpha_n x'_1 \int_0^{\infty} \frac{\cos \beta x'_2}{(\alpha_n^2 + \beta^2)^2} d\beta.$$

Związane z funkcją Φ' naprężenia będą

$$(4.15) \quad \begin{aligned} \sigma_{11}^{*'} &= - \frac{K}{a} \sum_{n=1}^{\infty} \frac{e^{-\alpha_n x'_2}}{\alpha_n} (1 - \alpha_n x'_2) \sin \alpha_n \xi'_1 \sin \alpha_n x'_1, \\ \sigma_{22}^{*'} &= - \frac{K}{a} \sum_{n=1}^{\infty} \frac{e^{-\alpha_n x'_2}}{\alpha_n} (1 + \alpha_n x'_2) \sin \alpha_n \xi'_1 \sin \alpha_n x'_1, \\ \sigma_{12}^{*'} &= \sigma_{21}^{*'} = \frac{K}{a} x'_2 \sum_{n=1}^{\infty} e^{-\alpha_n x'_2} \sin \alpha_n \xi'_1 \cos \alpha_n x'_1, \\ \mu_{13}^{*'} &= \mu_{23}^{*'} = 0, \end{aligned}$$

gdzie $K = \mu n W / k$. Na brzegach $x'_1 = 0, x'_1 = a$ otrzymaliśmy $\sigma_{11}^{*'} = 0, \sigma_{22}^{*'} \neq 0$, natomiast $\sigma_{12}^{*'} = \sigma_{21}^{*'} \neq 0$.

Dla dwu źródeł ciepła umieszczonych symetrycznie względem osi x_2 zgodnie z rys. 3a otrzymamy w układzie współrzędnych x_1, x_2 następujące wzory dla naprężeń $\bar{\sigma}_{12}^{*'}$ na brzegach

$$\bar{\sigma}_{12}^{*'} = \frac{Ka^2}{8\pi} \int_0^{\infty} \beta \bar{Q}(\omega, \xi_1) \sin \beta x_2 d\xi,$$

gdzie

$$\bar{Q}(\omega, \xi_1) = \frac{\beta \xi_1 \operatorname{ch} \omega \operatorname{sh} \beta \xi_1 - \omega \operatorname{sh} \omega \operatorname{ch} \beta \xi_1}{\omega^2 \operatorname{ch}^2 \omega}, \quad \omega = \frac{\beta a}{2}.$$

Dla dwu źródeł ciepła umieszczonych zgodnie z rys. 3b otrzymamy analogicznie

$$\bar{\sigma}_{12}^* = \frac{Ka^2}{8\pi} \int_0^\infty \beta \bar{\varrho}(\omega, \xi_1) \sin \beta x_2 d\xi,$$

gdzie

$$\bar{\varrho}(\omega, \xi_1) = \frac{\beta \xi_1 \operatorname{ch} \omega \operatorname{ch} \beta \xi_1 - \omega \operatorname{ch} \omega \operatorname{sh} \beta \xi_1}{\omega^2 \operatorname{sh}^2 \omega}.$$

Dla usunięcia naprężeń $\sigma_{12}^* \neq 0$ na brzegach $x_1 = \pm a/2$ należy do stanu naprężeń $\sigma_{ji}^*, \mu_{ji}^*$ dodać stan naprężeń $\sigma_{ji}^{*'}, \mu_{ji}^{*'}$ określony funkcjami $\Phi'', \varphi_3^{*''}$.

Funkcje Φ'' i $\varphi_3^{*''}$ winny spełniać równania

$$(4.16) \quad \begin{aligned} \nabla_1^2 \nabla_1^2 \Phi'' &= 0, \\ \nabla_1^2 (l^2 \nabla_1^2 - 1) \varphi_3^{*''} &= 0, \end{aligned}$$

z warunkami brzegowymi

$$(4.17) \quad \sigma_{11}^{*'} = 0, \quad \sigma_{12}^* + \sigma_{12}^{*'} = 0, \quad \mu_{13}^{*'} = 0 \quad \text{dla } x_1 = \pm \frac{a}{2}.$$

Jednocześnie powinny być spełnione równania

$$(4.18) \quad \begin{aligned} \partial_1 \nabla_1^2 \Phi'' + \frac{n}{m} \partial_2 (l^2 \nabla_1^2 - 1) \varphi_3^{*''} &= 0, \\ \partial_2 \nabla_1^2 \Phi'' - \frac{n}{m} \partial_1 (l^2 \nabla_1^2 - 1) \varphi_3^{*''} &= 0. \end{aligned}$$

Dla obciążenia zgodnie z rys. 3a przyjmujemy

$$(4.19) \quad \begin{aligned} \bar{\Phi}'' &= \sqrt{\frac{2}{\pi}} \int_0^\infty (\bar{M} \operatorname{ch} \beta x_1 + \beta x_1 \bar{N} \operatorname{sh} \beta x_1) \cos \beta x_2 d\beta, \\ \bar{\varphi}_3^{*''} &= \sqrt{\frac{2}{\pi}} \int_0^\infty (\bar{C} \operatorname{sh} \beta x_1 + \bar{D} \operatorname{sh} \eta x_1) \sin \beta x_2 d\beta, \quad \eta = \left(\beta^2 + \frac{1}{l^2} \right)^{1/2}. \end{aligned}$$

Warunki brzegowe wyrażamy przez potencjały sprężyste Φ, Ψ i obrót φ_3^* [3]

$$(4.20) \quad \begin{aligned} \sigma_{11}^* &= 2\mu(\partial_1 \partial_2 \Psi - \partial_2^2 \Phi) + (\lambda_0 + 2\mu) \nabla_1^2 \Phi, \\ \sigma_{12}^* &= 2\mu(\partial_1 \partial_2 \Phi + \partial_2^2 \Psi) - 2\mu(l^2 \nabla_1^2 - 1) \varphi_3^*, \\ \sigma_{21}^* &= 2\mu(\partial_1 \partial_2 \Phi - \partial_1^2 \Psi) + 2\mu(l^2 \nabla_1^2 - 1) \varphi_3^*, \\ &\dots \dots \text{itp.,} \end{aligned}$$

gdzie $\lambda_0 = 2\mu\lambda/(\lambda + 2\mu)$.

Z warunków brzegowych (4.17) przy wykorzystaniu (4.20) i ze związków (4.18) można wyznaczyć cztery stałe całkowania $\bar{M}, \bar{N}, \bar{C}, \bar{D}$, a następnie obliczyć naprężenia $\bar{\sigma}_{ji}^{*''}, \bar{\mu}_{ji}^{*''}$ związane z funkcjami $\bar{\Phi}'', \bar{\varphi}_3^{*''}$.

Dla obciążenia zgodnie z rys. 3b przyjmujemy

$$\begin{aligned} \bar{\Phi}'' &= \sqrt{\frac{2}{\pi}} \int_0^\infty (\bar{M} \operatorname{sh} \beta x_1 + \beta x_1 \bar{N} \operatorname{ch} \beta x_1) \cos \beta x_2 d\beta, \\ \bar{\varphi}_{31}^{*''} &= \sqrt{\frac{2}{\pi}} \int_0^\infty (\bar{C} \operatorname{ch} \beta x_1 + \bar{D} \operatorname{ch} \eta x_1) \sin \beta x_2 d\beta, \quad \eta = \left(\beta^2 + \frac{1}{l^2} \right)^{1/2}. \end{aligned} \quad (4.21)$$

Po obliczeniu stałych całkowania \bar{M} , \bar{N} , \bar{C} , \bar{D} z warunków brzegowych (4.17) i ze związków (4.18) wyznaczmy związane z funkcjami $\bar{\Phi}''$, $\bar{\varphi}_{31}^{*''}$ naprężenia $\bar{\sigma}_{ji}^{*''}$, $\bar{\mu}_{ji}^{*''}$.

Rozwiązaniem zagadnienia według rys. 3 będą naprężenia wyrażone za pomocą wzorów (4.22)

$$\begin{aligned} \sigma_{ji}^* &= \sigma_{ji}' + \bar{\sigma}_{ji}' + \bar{\sigma}_{ji}^{*''}, \\ \mu_{ji}^* &= \bar{\mu}_{ji}' + \bar{\mu}_{ji}^{*''}. \end{aligned} \quad (4.22)$$

Literatura cytowana w tekście

1. W. NOWACKI, *Theory of non-symmetric elasticity* (in Polish), PWN, Warszawa 1971.
2. W. NOWACKI, *Zagadnienia termosprężystości*, PWN, Warszawa 1960.
3. W. NOWACKI, *Plane problems of micropolar elasticity*, Arch. of Mech., 23, 5 (1971).
4. K. MAJORKOWSKA-KNAP, *Plaskie zagadnienia mikropolarnej sprężystości*, Praca doktorska złożona w Bibliotece Głównej Politechniki Warszawskiej, Warszawa 1972.
5. S. KALISKI, J. KAPELEWSKI, S. RYMARZ, *Surface waves on an optical branch in continuum with rotational degrees of freedom*. Proc. Vibr. Probl., 2, 9 (1968).

Резюме

НЕКОТОРЫЕ ВОПРОСЫ ТЕРМОУПРУГОСТИ МИКРОПОЛЯРНЫХ ДИСКОВ

В работе рассматриваются вопросы термических напряжений в полубесконечном диске и в дисковой полосе. При решении задач вводятся функции напряжений Эри-Миндлина и упругие потенциалы. Решения дифференциальных уравнений в частных производных, описывающих рассматриваемые задачи, получаются благодаря применению рядов Фурье и конечных синусовых и косинусовых преобразований Фурье.

Summary

CERTAIN PROBLEMS OF THERMOELASTICITY IN MICROPOLAR PLATES

Problems of thermal stresses in a semi-infinite plate and in a plate strip are considered in the paper. The solution is found by means of the Airy-Mindlin stress functions and elastic potentials. The partial differential equations are solved owing to the application of Fourier series and finite sine and cosine transforms.

FILIA POLITECHNIKI WARSZAWSKIEJ W PŁOCKU

Praca została złożona w Redakcji dnia 17 stycznia 1974 r.